

2023-2024 学年度上学期高三（9月）月考

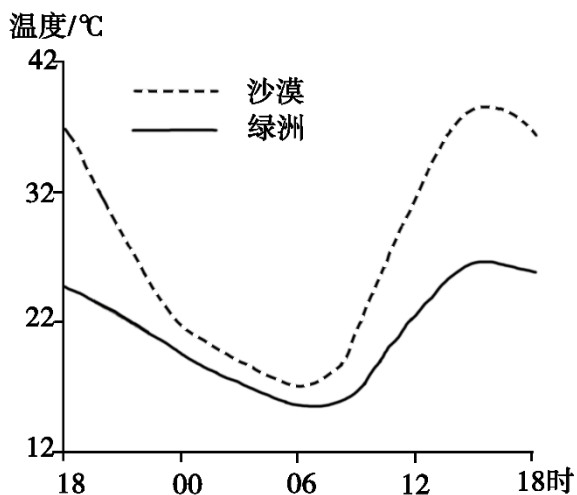
地理检测试卷

（时间：75分钟 分值：100分）

一、选择题（每小题只有一个正确选项，共 16*3=48 分）

对我国甘肃某绿洲观测发现，在天气稳定的状态下，会季节性出现绿洲地表温度全天低于周边沙漠的现象。

下图呈现该绿洲和附近沙漠某时段内地表温度的变化。据此完成下面小题。



1. 图示观测时段内（ ）

- A. 正午绿洲和沙漠长波辐射差值最大
- B. 傍晚绿洲降温速率大于沙漠
- C. 凌晨绿洲和沙漠降温速率接近
- D. 上午绿洲长波辐射强于沙漠

2. 导致绿洲夜间地表温度仍低于沙漠的主要原因是绿洲（ ）

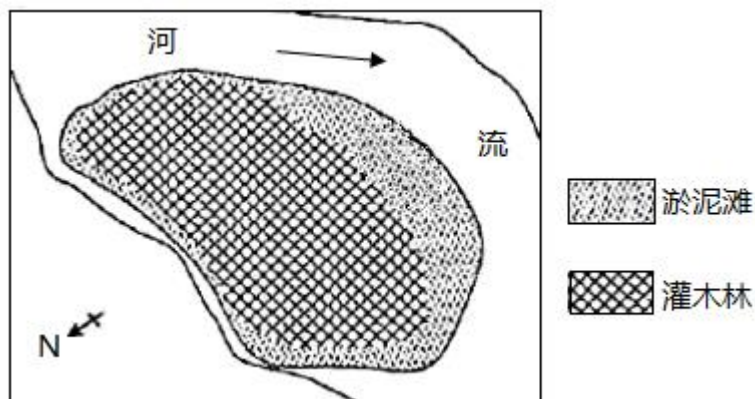
- ①白天温度低
- ②蒸发(腾)多
- ③空气湿度大
- ④大气逆辐射强

- A. ①②
- B. ②③
- C. ③④
- D. ①④

3. 这种现象最可能发生在（ ）

- A. 1~2月
- B. 4~5月
- C. 7~8月
- D. 10~11月

黄河上游某古老江心洲平均海拔约 4600 米，面积还在持续增大。据调查，该江心洲上不同树龄的灌木植被仍然保持着原生自然状态，没有乔木植被发育。下图是该江心洲示意图。据此完成下面小题。



4. 树龄较大的灌木主要分布在江心洲的（ ）

- A. 东部 B. 西部 C. 南部 D. 北部

5. 该江心洲没有乔木植被的最主要原因是 ()

- A. 土壤瘠薄 B. 热量不足 C. 水分过多 D. 风力强劲

新西兰南岛上的南阿尔卑斯山脉 (约 42° S-45° S) 位于板块边界附近, 呈东北—西南走向, 其形态受板块运动和以流水为主的外力作用共同影响。某科研团队对该山脉东西向剖面形态进行研究, 观测到目前该山脉仍在升高并向西扩展; 模拟研究表明未来该山脉升高速度逐渐放缓, 高度将趋于稳定。据此完成下面小题。

6. 推测目前该山脉仍在升高并向西扩展是由于 ()

- A. 板块挤压 B. 火山不断喷发 C. 板块张裂 D. 岩浆持续侵入

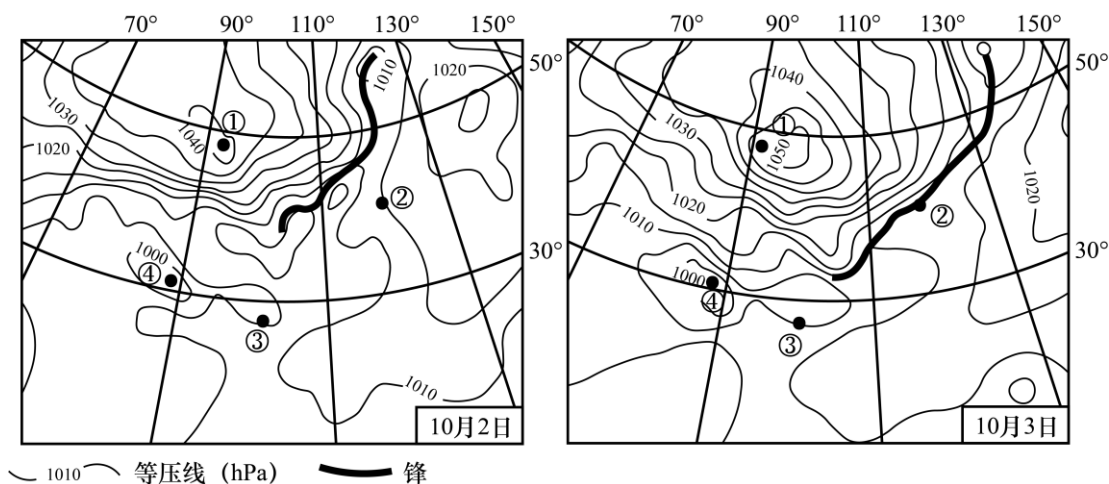
7. 假设不受内力作用, 在外力作用下, 该山脉 ()

- A. 西坡侵蚀强烈, 山脊线东移 B. 西坡侵蚀强烈, 山脊线稳定
C. 东坡侵蚀强烈, 山脊线西移 D. 东坡侵蚀强烈, 山脊线稳定

8. 未来该山脉高度将趋于稳定, 是由于随山体升高 ()

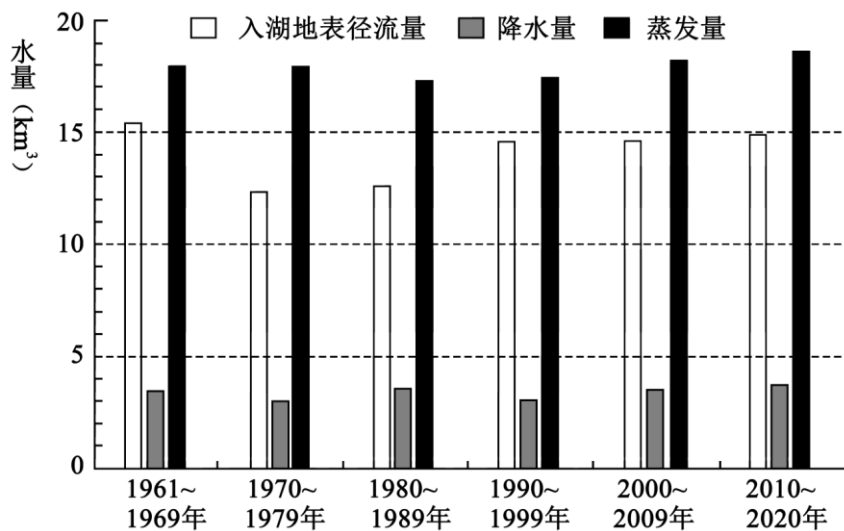
- A. 板块运动逐渐加强 B. 板块运动逐渐减弱
C. 外力作用逐渐加强 D. 外力作用逐渐减弱

9. 图为某年连续两日亚洲局部地区海平面气压分布图。读图, 2日到3日 ()



- A. ①地气压升高, 持续晴朗 B. ②地经历暖锋过境, 阴雨连绵
C. ③地吹偏东风, 风力减小 D. ④地下沉运动为主, 气流辐散

位于中亚的某内陆咸水湖, 拥有较丰富的湿地和动植物资源, 该湖泊近 60 年水量变化显著。湖滨地下水与湖泊互为补给, 但补给量较少。下图示意该湖泊 1961-2020 年各时期入湖地表径流量、降水量、蒸发量的变化。据此完成下面小题。



10. 引起该湖泊近 60 年水量变化的主导因素是 ()

- A. 气温 B. 降水量 C. 蒸发量 D. 地表径流量

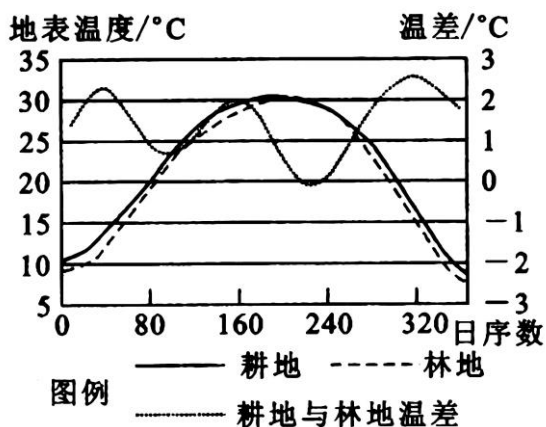
11. 推测湖滨地下水补给该湖泊较多的时期是 ()

- A. 1961-1979 年 B. 1970-1989 年 C. 1980-1999 年 D. 2000-2020 年

12. 与 20 世纪 80 年代相比, 2000 年以来该湖泊湖岸地区 ()

- A. 沙尘天气增多 B. 灌溉面积扩大
C. 湖岸线较稳定 D. 绿洲面积增加

下图为我国南方某地区耕地与毗邻林地白昼地表温度及其差异的季节变化图 (图中日数为一年中自 1 月 1 日开始的天数)。近年来, 该区域耕地撂荒现象 (不继续耕种土地, 任其荒芜) 明显。据此完成下面小题。



13. 该区域耕地与毗邻林地的最大温差出现在 ()

- A. 2 月 B. 5 月 C. 8 月 D. 11 月

14. 影响该区域耕地与林地白昼地表温度差异的主要因素是 ()

①太阳辐射量②地表反照率③天空云量④水分蒸发 (腾)

- A. ①② B. ③④ C. ①③ D. ②④

15. 大量耕地撂荒可能导致该区域 ()

- A. 冬夏温差增大 B. 日照时数增加 C. 平均气温降低 D. 年降水量减少

16. 阿联酋迪拜政府发布了一款新型太阳能电池板, 因其形如花瓣, 昼开夜合并智能追光, 命名为“智能太阳

花”。我国引进“智能太阳花”，并率先在新疆乌鲁木齐安装调试完毕，正式并网发电。据此完成下面小题。



在夏至日，相比起迪拜，新疆的“智能太阳花”（ ）

- A. 水平转动角度更小
- B. 仰角变化幅度更小
- C. 正午影子更短
- D. 展开时间更短

二、综合题（共3小题，共52分）

17. 阅读图文材料，完成下列要求。

图1为意大利那波利和美国蒙特雷的地理位置。图2为意大利那波利和美国蒙特雷的气候资料。

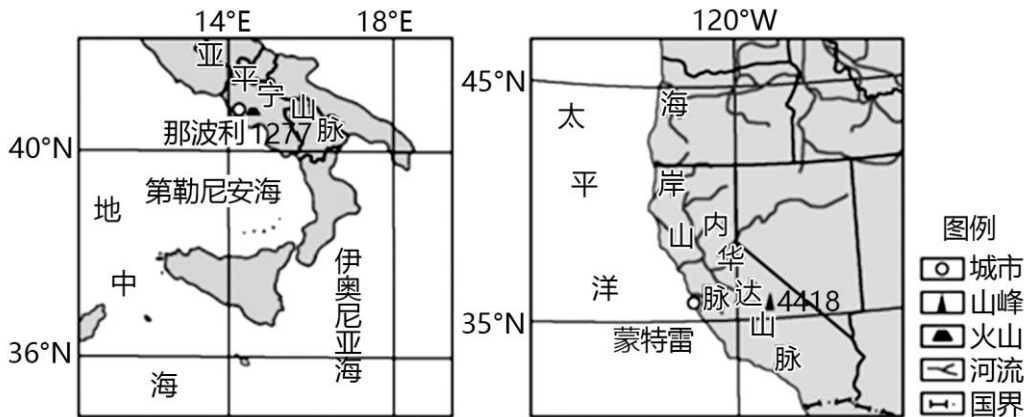


图1

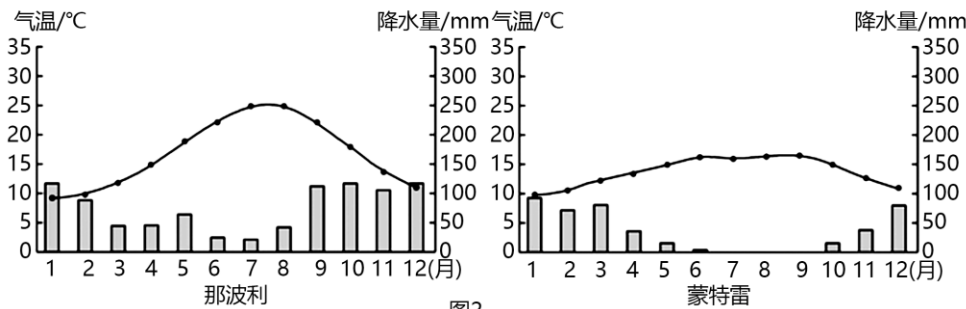


图2

- (1) 比较那波利和蒙特雷气候特点的不同，并分析其原因。
- (2) 两地所在区域均位于泥石流灾害高风险区，分析其自然原因。
- (3) 分别说出那波利及其同纬度亚欧大陆东岸的陆地自然带。

18. 阅读图文资料，完成下列要求。

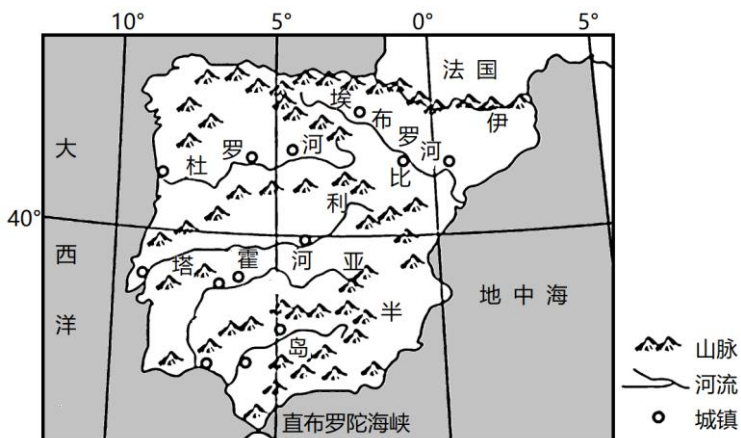
莱屿列岛位于福建省漳浦县古雷半岛东部，这里很多岛屿上都没有植被覆盖，但岛上却遍生花岗岩石蛋，其中有一个石蛋整体看过去像一只背负巨蛋、窥探岸边蛋状石块的窃蛋龙（下图），顶部巨石长 18 米、宽 10 米、高 8 米，体积 1080 立方米，重约 2800 吨，巨石与基座间只有不到一平方米的接触面，它是目前国内已知最大的一块风动石（风动石是指停留在巨石表面的近似球状或椭球状的岩块，风来石微动，风止石岿然）。



- (1) 从水源角度解释莱屿列岛许多岛屿无植被覆盖的原因。
- (2) 简述风动石的形成过程。
- (3) 从岩性和岩表角度推测风动石“风来石微动，风止石岿然”需要满足的条件。

19. 阅读图文材料，完成下列要求。

伊比利亚半岛地处欧洲西南角，海岸平直，多高原和山地，中部的高原平均海拔 610 米，占半岛面积的 60%。半岛上的最高山峰海拔为 3478 米。半岛约有 1800 条河流，最长的河流为塔霍河（1038 千米），但大多数河流水量不丰。下图示意伊比利亚半岛地形、主要河流和城市分布。



- (1) 结合伊比利亚半岛地形状况，阐释半岛河流的水系特点。
- (2) 分析伊比利亚半岛河流水量不丰的自然原因。
- (3) 夏季伊比利亚半岛的河谷会形成高温带，分析其对河流与地下水相互补给关系的影响。